

7. Hawke R. S., Scudder J. K. Magnetic propulsion railguns: their design and capabilities // Megagauss physics and technology: Proc. conf., Washington, 1979.— N. Y.; L.: Plenum Press, 1980.
8. Hawke R. S., Brooks A. C. et al. Railguns for equation-of-state research.— S. l., 1981.— (Tech. Rep./UCRL — 85298); Fowler C. M., Peterson D. R., Hawke R. S. et al. Rail gun development for EOS research // Shock waves in condensed matter/Ed. by W. J. Nellis et al.— N. Y., 1982.
9. Карелоу Г., Егер Д. Теплопроводность твердых тел.— М.: Наука, 1964.
10. Кнофель Г. Сверхсильные магнитные поля.— М.: Мир, 1972.
11. Физические свойства сталей и сплавов, применяемых в энергетике: Справочник/Под ред. Б. Е. Неймарка.— М.: Энергия, 1967.
12. Шнеерсон Г. А. Поверхностный эффект в сверхсильном магнитном поле // ЖТФ.— 1967.— Т. 37, вып. 3.
13. Швецов Г. А., Титов В. М., Башкатов Ю. Л. и др. Исследование работы рельсоструйного ускорителя твердых тел с питанием от взрывного МГД-генератора // Сверхсильные магнитные поля. Физика. Техника. Применение/Под ред. В. М. Титова, Г. А. Швецова.— М.: Наука, 1984.
14. Бронштейн И. Н., Семенджиев К. А. Справочник по математике.— М.: Наука, 1981.

Поступила 26/IX 1986 г.

УДК 527.535

## МЕТОД РАСЧЕТА ЭНЕРГЕТИЧЕСКИХ ХАРАКТЕРИСТИК ГАЗОРАЗРЯДНЫХ КАМЕР С УЧЕТОМ ПОГРАНИЧНОГО СЛОЯ

B. B. Бреев, C. B. Двуреченский, A. T. Кухаренко,  
C. B. Пашкин

(Москва)

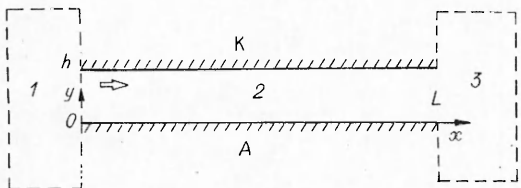
Расчет протекания газа в канале с параллельными стенками [1] представляет самостоятельный интерес (в частности, в связи с описанием турбулентности [2]). Среди многочисленных методов решения таких задач (см., например, [3]) нет универсального.

Большой прикладной интерес представляют расчеты газоразрядных камер (ГРК), применяемых в плазмохимии и для создания технологических лазеров. Необходимо исследовать газодинамические уравнения совместно с уравнениями, описывающими колебательное возбуждение молекул газа тлеющим разрядом. Определенные трудности построения простого и эффективного способа расчета течения газа с учетом пограничного слоя при довольно больших числах Рейнольдса ( $\sim 10^4$ — $10^5$ ) дополняются специфическими, связанными с колебательной накачкой.

Построение метода численного решения задачи о ГРК с учетом погранслоя — цель настоящей работы.

Даже в условиях ламинарного погранслоя, который чаще всего имеет место при характерных параметрах потока газа в ГРК (давление  $\sim 10$  кПа, скорость потока газа в ГРК  $\sim 100$  м/с,  $h \sim 5$  см,  $L \sim 50$  см), ясна некорректность решения задачи в одномерном струйном приближении. Колебательное возбуждение молекул тлеющим разрядом при наличии погранслоев должно приводить к сильному нагреву газа в последних и значительной неоднородности газодинамических параметров. Другие причины необходимости рассмотрения задачи в двумерном приближении — отвод тепла от нагретого газа в стенку камеры и возможная гетерогенная (на элементах конструкции) релаксация колебательно-возбужденных молекул.

Существенные вычислительные трудности возникают вследствие геометрии ГРК (рис. 1): в используемых на практике камерах число «калибров»  $L/h \geq 15 \gg 1$ . Необходимое для численного расчета погранслоя при характерных для ГРК параметрах число разбиений по оси  $y$  составляет  $N_y \sim 10^2$ , а по оси  $x$   $N_x \geq 10^3$ , т. е. число узлов пространственной сетки может достигать  $\geq 10^5$ , что уже делает проблематичным численное решение задачи традиционными методами. В условиях сильной неоднородности нужно использовать неравномерный шаг, что может быть реализовано далеко не во всех известных методах [3].



Р и с. 1

В данной работе предлагается способ расчета энергетических характеристик ГРК с учетом пограничного слоя на основе метода суммарной аппроксимации [4]. Решение поставленной задачи актуально для уяснения влияния структуры газового потока на эффективность накачки в длинных каналах ГРК.

Наиболее распространена схема ГРК, приведенная на рис. 1, где 1 — форкамера, 2 — собственно ГРК с тлеющим разрядом, 3 — выходная камера; стенки камеры служат одновременно электродами (А — анод, К — катод, стрелкой указано направление потока газа).

Рассмотрим газ, представляющий собой смесь ангармонических осцилляторов с инертными атомами (например,  $N_2 : He$ ,  $CO : He$  и т. д.) с добавкой  $CO_2$  до нескольких процентов (такие смеси используются в технологических лазерах). Сформулируем основные физические предположения. Колебательное возбуждение молекул производится тлеющим разрядом с заданной плотностью мощности  $jE = \dot{W}_p(x, y)$  и колебательным КПД разряда  $\eta_p$ ; доля 1 —  $\eta_p$  идет непосредственно в нагрев газа. Тепло от нагретого газа поступает в стенку, теплоемкость которой будем считать бесконечно большой.

Уравнения, описывающие стационарный пограничный слой потока вязкого теплопроводного газа, в декартовых координатах имеют следующий вид ( $\rho$ ,  $p$ ,  $T$  — плотность, давление, температура газа,  $\mathbf{V} = \{u, v, 0\}$  — вектор скорости):

уравнение непрерывности

$$(1) \quad \partial u / \partial x + \partial v / \partial y + u \partial \ln \rho / \partial x + v \partial \ln \rho / \partial y = 0;$$

проекция закона сохранения импульса на ось  $x$

$$(2) \quad \rho u \partial u / \partial x + \rho v \partial u / \partial y + dp / dx = \partial \tau / \partial y + F_x;$$

закон сохранения энергии

$$(3) \quad \rho c_p (u \partial T / \partial x + v \partial T / \partial y) - u \partial p / \partial x = Q_v;$$

$$(4) \quad Q_v = \partial q / \partial y + \tau \partial u / \partial y + Q_{\text{рел}} + (1 - \eta_p) jE,$$

$$Q_{\text{рел}} = \rho (E_N - E_{N_p}) / \tau_N,$$

где слагаемые теплового источника  $Q_v$  означают соответственно теплоизделие за счет теплопроводности, внутреннего трения, релаксации колебательной энергии и прямой нагрев газа разрядом;

$$(5) \quad \tau = \mu \partial u / \partial y;$$

коэффициент динамической вязкости

$$(6) \quad \mu = \mu_0 (T / T_0)^{0.76};$$

тепловой поток

$$(7) \quad q = \lambda \partial T / \partial y;$$

$\lambda$  — коэффициент теплопроводности ( $\lambda = \mu c_p / Pr$ );  $Pr$  — число Прандтля;  $F_x$  — объемная сила.

Получим следствие системы (1)–(3), удобное для построения процедуры расчета. Из (3) с учетом элементарных соотношений для совершенного газа вытекает  $-(u \partial \ln \rho / \partial x + v \partial \ln \rho / \partial y) = (\gamma - 1) / \gamma \cdot Q_v / p - u / \gamma \cdot d \ln p / dx$ . Складывая последнее с (1), получим

$$(8) \quad \partial u / \partial x + \partial v / \partial y = (\gamma - 1) / \gamma \cdot Q_v / p - u / \gamma p \cdot dp / dx.$$

Вычтем (2) из (8) и поделим полученное на  $u$ :

$$(9) \quad \partial(v/u)/\partial y = (1 - M^2)/\rho u^2 \cdot dp/dx + (\gamma - 1)/\gamma \cdot Q_v/pu - (\partial\tau/\partial y + F_x)/\rho u^2,$$

где число Маха

$$(10) \quad M = u/\sqrt{\gamma RT}.$$

Из (9) следует важное соотношение: приняв во внимание, что

$$(11) \quad \lim_{\substack{y \rightarrow 0+0 \\ y \rightarrow h-0}} (v/u) = \lim_{\substack{y \rightarrow 0+0 \\ y \rightarrow h-0}} (\partial v/\partial y)/(\partial u/\partial y) = 0,$$

проинтегрируем (9) от 0 до  $h$ :

$$0 = dp/dx \int_0^h (1 - M^2)/\rho u^2 \cdot dy - \int_0^h [(\partial\tau/\partial y)/\rho u^2 - (\gamma - 1)/\gamma \cdot Q_v/pu] dy,$$

откуда

$$(12) \quad dp/dx = \int_0^h [(\partial\tau/\partial y)/\rho u^2 - (\gamma - 1)/\gamma \cdot Q_v/pu] dy \Big| \int_0^h (1 - M^2)/\rho u^2 \cdot dy.$$

Для удельной (на единицу массы газа) колебательной энергии  $E_N$  имеем

$$(13) \quad \rho u \partial E_N / \partial x + \rho v \partial E_N / \partial y = \partial J_v / \partial y - \rho(E_N - E_{N_p})/\tau_N + \eta_p jE,$$

где

$$(14) \quad J_v = \rho D^* \partial E_N / \partial y$$

— диффузионный поток колебательной энергии;  $E_{N_p}$  — равновесное значение  $E_N$ :

$$(15) \quad E_{N_p} = X_{N_2} R T_1 / (\exp(T_1/T) - 1);$$

$T_1 = 3380$  К — энергия первого колебательного уровня молекулы  $N_2$ ;

$$(16) \quad R = 83,14 / \sum_i \mu_i X_i;$$

$\mu_i$  — молекулярный вес в атомных единицах;  $X_i$  — доля  $i$ -го газа в смеси.

Итак, для численного решения будем использовать систему (2), (9), (13) и

$$(17) \quad \begin{aligned} \rho u c_p \partial T^* / \partial x + \rho c_p \partial T^* / \partial y &= \partial(q + ut)/\partial y + Q_{\text{рел}} + \\ &+ (1 - \eta_p) jE + u F_x, \\ T^* &= T + u^2/2c_p, \end{aligned}$$

а также соотношения (4)–(7), (10)–(16) и краевые условия на входе и стенах камеры:

$$v(x, 0) = v(x, h) = 0, u(x, 0) = u(x, h) = 0, v(0, y) = 0.$$

Здесь  $u(0, y)$  — заданная функция;  $T^*(x, 0) = T^*(x, h) = T_0^*$  — заданная величина;  $T^*(0, y) = T_0^*$ ;  $p(0, y)$  — давление на входе.

Опишем алгоритм численного решения. Задавшись  $u(x_0, y)$ ,  $p(x_0, y)$ ,  $T^*(x_0, y)$  (на входе камеры  $x_0 = 0$ ,  $T^*(0, y) = T_0^*$ ), а) определим для данного  $x_0$   $dp/dx$  из (12); б) из (9) найдем  $v(x_0, y)$  (поперечную составляющую скорости в данном сечении; в качестве краевых условий возьмем (11)); в) зная  $dp/dx$  и профиль поперечной составляющей скорости, делаем шаг по  $x$  ( $x \rightarrow x_0 + \Delta x$ ): находим из решения системы (2), (13), (17) с соответствующими краевыми условиями  $T^*(x_0 + \Delta x, y)$ ,  $E_N(x_0 + \Delta x, y)$ ,  $u(x_0 + \Delta x, y)$ .

Система уравнений (2), (13), (17) решается относительно  $T^*$ ,  $E_N$ , и методом суммарной аппроксимации [4], т. е. разбивается на ряд последовательно решаемых подсистем, а именно (краевые условия везде опущены):

- I)  $dT^*/dx = 0$ ,  $dy/dx = v/u$ ,  $du/dx = 0$ ,  $dy/dx = v/u$ ,  $dE_N/dx = 0$ ,  
 $d/dx = \partial/\partial x + dy/dx \cdot \partial/\partial y$ ;
- II)  $\rho u c_p \partial T^*/\partial x = \partial(q + ut)/\partial y$ ,  $\rho u \partial u/\partial x = \partial \tau/\partial y$ ,  $\rho u \partial E_N/\partial x = \partial J_v/\partial y$ ,  
 $q = \lambda \partial T/\partial y$ ;
- III)  $\partial T^*/\partial x = 0$ ,  $c_p \partial T/\partial x + u \partial u/\partial x = 0$ ,  $\rho u \partial u/\partial x + dp/dx = 0$ ,  $u \partial u/\partial x + 1/\rho \cdot dp/dx = 0$ ,  $\rho u \partial E_N/\partial x = 0$ ;
- IV)  $\rho u c_p \partial T^*/\partial x = Q_{\text{рел}} + (1 - \eta_p)jE$ ,  $\rho u \partial u/\partial x = 0$ ,  $\rho u \partial E_N/\partial x = -\rho(E_N - E_{N_p})/\tau_N + \eta_p jE$ .

Определив  $u$ ,  $E_N$ ,  $T^*(x_0 + \Delta x, y)$  и в соответствии с пп. «а», «б»  $v$ ,  $dp/dx(x_0 + \Delta x, y)$ , делаем следующий шаг по  $x$  и т. д. Разбиение по оси  $y$  равномерное и составляло  $N_y = h/\Delta y = 50-100$  интервалов. Шаг по  $x$  выбирался из условий устойчивости численного интегрирования подзадач I—IV; число таких неравномерных разбиений по оси  $x$   $N_x \geq 10^3$ . Очевидное преимущество предложенного метода состоит в возможности рассчитывать характеристики ГРК сколь угодно большой длины, точнее, такой, что  $L/h \gg 1$ .

Численное решение системы уравнений проверялось подсчетом расхода газа на входе в разных поперечных сечениях и на выходе камеры, а также баланса энергии. Хотя расчет не использует разностные аналоги законов сохранения, балансы массы и энергии сходятся с вполне удовлетворительной точностью  $\leq 3\%$ .

Другая проверка состояла в расчете стационарного распределения газодинамических параметров в камере в отсутствие тлеющего разряда. Для произвольного профиля скорости на входе ГРК  $u(0, y)$  расчет дает при  $L \rightarrow \infty$  зависимость на выходе  $u(L, y)$ , приближающуюся к пузейлевской.

Применимость используемого приближения ламинарного погранслоя на первый взгляд вызывает сомнение, поскольку в типичных для быстро-проточных лазеров условиях  $Re \sim 10^5$  и более. Однако тщательное изучение вопроса показало, что при исследуемых параметрах потока газа  $Re < Re_{\text{кр}}$  и, по-видимому, нет оснований считать неверным используемое приближение.

В качестве примера рассмотрим расчет газоразрядной камеры с характерными параметрами:  $L/h = 25$ , удельный расход газа  $2 \text{ г}/(\text{см}^2 \cdot \text{с})$ , симметричный на входе профиль продольной составляющей скорости

потока газа (рис. 2), средняя скорость  $\bar{u} = \frac{1}{h} \int_0^h u(0, y) dy = 100 \text{ м/с}$ .

Объемную мощность разряда зададим однородной по пространству ГРК (за исключением приэлектродных областей),  $jE = 3 \cdot 10^6 \text{ Вт}/\text{м}^3$ , КПД разряда  $\eta_p = 0,95$  [5]. Для смеси  $\text{CO}_2 : \text{N}_2 : \text{He} = 2 : 49 : 49$  константы релаксации взяты такими, что  $(\rho \tau_{N_2-N_2})^{-1} = 10^{-3} (\text{Па} \cdot \text{с})^{-1}$ ,  $(\rho \tau_{N_2-\text{He}})^{-1} = 5,1 \cdot 10^{-5} (\text{Па} \cdot \text{с})^{-1}$  при  $300 \text{ К}$ .

На рис. 2 изображена продольная составляющая скорости потока газа  $u(x, y)$  в различных сечениях ГРК, указаны значения скорости на оси симметрии камеры. Видно, что профиль скорости сглаживается к выходу камеры, растет размер пограничного слоя. По мере движения к выходу ГРК газ подогревается и давление возрастает. В расчетах также учтено наличие приэлектродных областей разряда —  $jE$  задано в узкой области у электродов в соответствии с известными величинами анодного и катодного падений потенциала, а КПД разряда у катода  $\eta_p|_k = 0$ .

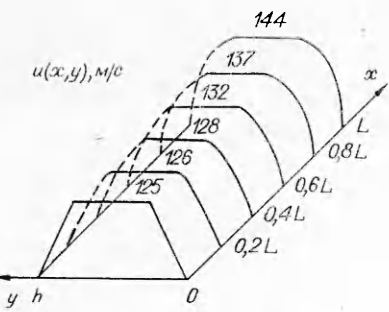


Рис. 2

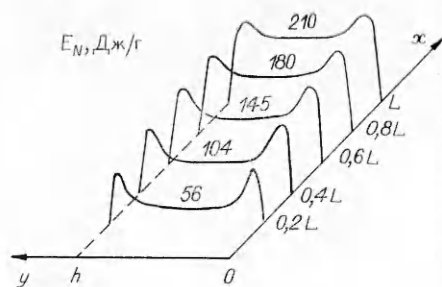


Рис. 3

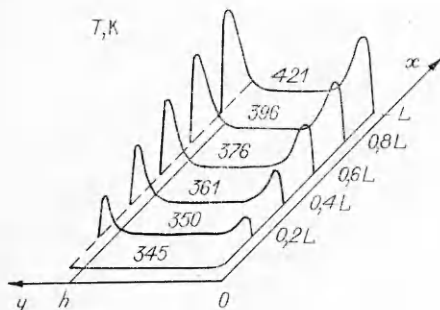


Рис. 4

Принята во внимание зависимость  $\tau_N$  от  $\Theta = T_N/T$  — отношения колебательной температуры к поступательной, когда при достижении некоторого порогового значения  $\Theta_{\text{кр}} \tau_N$  падает на два и более порядков [5]. Релаксация колебательно-возбужденных молекул на стенках ГРК учитывается условием на стенке

$$D_v^* \partial E_N / \partial y \Big|_{y=0} = -2\epsilon_v/(2-\epsilon_v) \times \\ \times \sqrt{\gamma R T} / 4 \cdot E_N \Big|_{y=0},$$

возбужденные молекулы достигают стенки в результате диффузии и релаксируют с коэффициентом аккомодации  $\epsilon_v$  [6] (полагалось  $\epsilon_v = 1$ ).

За счет меньшей скорости потока у стенок газ здесь дальше пребывает в камере и «накачивается» сильнее (рис. 3, где изображено распределение плотности колебательной энергии  $E_N(x, y)$  по ГРК, указаны значения  $E_N$  на оси симметрии камеры). На рис. 4 приведено распределение температуры  $T(x, y)$  по ГРК, даны значения температуры на оси симметрии. Видно, что газ больше нагревается в пограничном слое в результате релаксации. В непосредственной близости у стенки газ холоднее из-за теплоотвода в нее. Несмотря на задаваемый высокий КПД разряда ( $\eta_p = 0,95$ ), с учетом наличия пограничного слоя доля колебательной энергии довольно низка и составляет  $\leq 0,6$  в общем балансе энергии камеры.

В рамках рассматриваемой в работе системы уравнений можно провести аналогичное исследование и при наличии турбулентности, для этого достаточно добавить в уравнения, где требуется, турбулентные коэффициенты переноса.

## ЛИТЕРАТУРА

1. Конт-Белло Ж. Турбулентное течение в канале с параллельными стенками.— М.: Мир, 1968.
2. Шлихтинг С. Теория пограничного слоя.— М.: Наука, 1974.
3. Труды IX Всесоюзной школы-семинара «Численные методы динамики вязкой жидкости».— Новосибирск, 1983.
4. Самарский А. А. Введение в теорию разностных схем.— М.: Наука, 1971.
5. Гордиц Б. Ф., Осипов А. И., Шелепин Л. А. Кинетические процессы в газах и молекулярные лазеры.— М.: Наука, 1980.
6. Гершонсон Ю. М., Розенштейн В. Б., Уманский С. Я. Гетерогенная релаксация колебательной энергии молекул // Химия плазмы.— М.: Атомиздат, 1977.— Вып. 4.

Поступила 26/V 1986 г.